



БИООРГАНИЧЕСКАЯ ХИМИЯ

том 16 • № 10 • 1990

УДК 547.857.7'455.522'118.057

© 1990 г.

M. A. Грачев, Е. А. Лухтанов, А. А. Мустаев

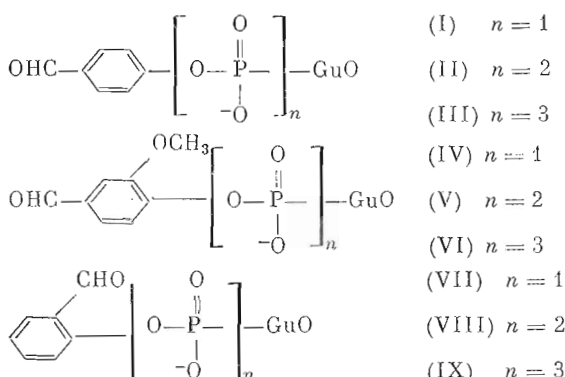
ФОРМИЛФЕНИЛОВЫЕ ЭФИРЫ ГУАНОЗИН-5'-МОНО-, ДИ- И ТРИФОСФАТОВ ПО КОНЦЕВОМУ ФОСФАТУ

Лимнологический институт СО АН СССР, Иркутск

На примере 9 новых соединений проверен новый метод синтеза α -, β - и γ -формилфениловых эфиров нуклеотидов, производных по концевому фосфату, основанный на конденсации либо метилимидазольных производных (в случае GMP и GDP), либо гуанозин-5'-триметафосфата (в случае GTP) с одним из формилфенолов (4-гидрокси-, 4-гидрокси-3-метокси- или 2-гидроксибензальдегидом). Все полученные соединения охарактеризованы методами УФ-спектроскопии, обращенно-фазовой и ионообменной хроматографий. Показана устойчивость соединений к действию фосфомоноязыры. Установлено, что некоторые из них являются аффинными реагентами для РНК-полимеразы *E. coli*.

В настоящее время известно много методов введения различных группировок по концевым фосфатным остаткам моно- и олигонуклеотидов [1]. Наиболее просто могут быть получены фосфамидные производные, для которых разработаны удобные методы синтеза [2, 3]. С использованием этих методов был получен ряд реакционноспособных фосфамидных производных нуклеотидов, которые с успехом применялись для аффинной модификации различных биополимеров [4]. Однако фосфамидная связь лабильна в кислой среде, вследствие чего, например, при выделении и характеризации модифицированных таким образом пептидов возникают существенные затруднения. Одними из наиболее перспективных в этом отношении аффинных реагентов являются реакционноспособные эфиры нуклеотидов, поскольку эфирная связь сравнительно устойчива как в кислой, так и щелочной среде.

В данной работе описан простой метод введения фенильных остатков по концевым фосфатным группам нуклеозид-5'-моно-, ди- и трифосфатов на примере формилфениловых эфиров GMP, GDP и GTP следующей структуры:



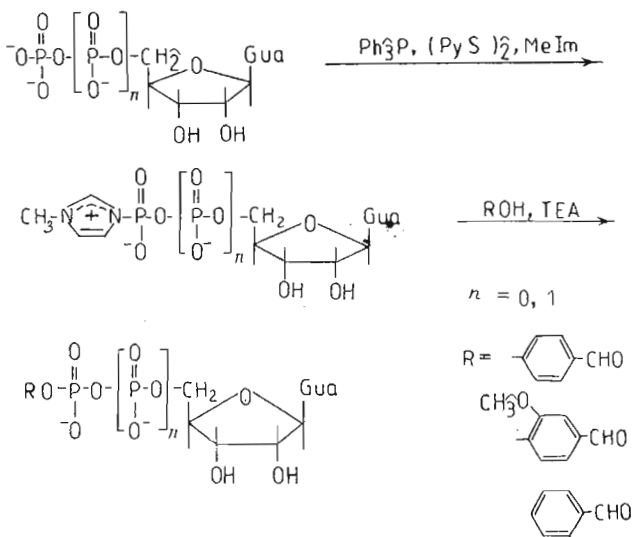
Соединения (I)–(III), (VII)–(IX) ранее были использованы для аффинной модификации РНК-полимеразы *E. coli* [5], однако их синтез не был описан.

Сокращения: DMSO — диметилсульфоксид, TEA — триэтиламин, MeIm — N-метилимидазол, (PyS)₂ — 2,2'-дипиридинилдисульфид, КПК — пространственные модели Полинга — Кори.

Зависимость выхода соединения (I) от количества N-метилимидазола

Избыток N-метилимидазола, моль/моль нуклеотида	Выход соединения (I), %
0	0
1,5	70
3	88
6,7	95

Фенола с триэтиламином (1 : 1, моль/моль) приводило к образованию целевого продукта с высоким выходом. Предполагаемый механизм реакций может быть представлен в следующем виде:



Глубина протекания второй стадии синтеза, по-видимому, зависит от того, насколько полно прошло образование метилимидазольного производного. В таблице показана зависимость выхода соединения (I) от количества N-метилимидазола. Видно, что если в его отсутствие реакция вообще не идет, то при 6-кратном молярном избытке удается получить требуемый продукт с выходом не менее 90 %. Эти факты говорят в пользу предложенной схемы. Согласно данным обращенно-фазовой хроматографии компонентов реакционной среды, при длительной инкубации на первой стадии (в случае GMP) образуются побочные продукты, которые, хотя и не препятствуют проведению второй стадии синтеза, снижают выход целевого продукта. По этой причине время проведения первой стадии синтеза не должно превышать 10–15 мин при 20° С. На рис. 1 показана зависимость выхода соединения (I) от времени, свидетельствующая о том, что время полупревращения на второй стадии синтеза не превышает 30 с (в данных условиях), а через 15 мин реакция практически завершается. С помощью этой методики нами были получены формилфениловые эфиры GMP и GDP (I), (II), (IV), (V), (VII), (VIII) с выходом 90–95 %.

Трифосфатные производные (III), (VI), (IX) получали обработкой соответствующего формилфенола гуанозин-5'-триметафосфатом, который может быть получен в безводной среде с применением в качестве конден-

сина производных GDP и GMP проводили следующим образом: вначале раствор нуклеозид-5'-моно- или дифосфата и N-метилимидазола в безводном диметилсульфокисиде обрабатывали трифенилfosфином и дипиридилдисульфидом. Известно, что в этих условиях образуется высокореакционноспособное метилимидазольное производное [6]. Последующее добавление смеси формил-

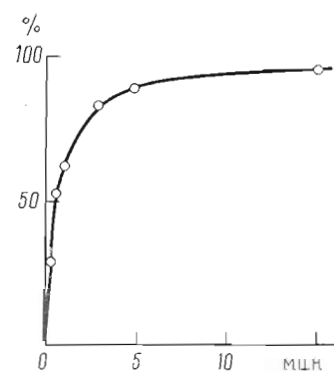
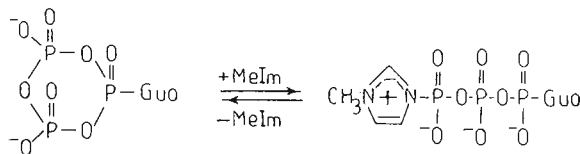


Рис. 1. Выход соединения (I) в зависимости от времени. Измерение проводили как описано в «Экспер. части»

сирующих агентов N,N' -дициклогексилкарбодимида [2] либо смеси трифенилфосфина и дипиридилидисульфида [3]. Было показано, что реакция триметафосфата с фенолами приводит к образованию целевых продуктов с выходом не менее 90%. Присутствие N -метилимидазола в заметной степени не влияло на скорость фосфорилирования. Отсюда можно заключить, что реакция в этом случае идет через триметафосфат, а не γ - N -метилимидазолид GTP, образование которого можно было ожидать в реакционной смеси:



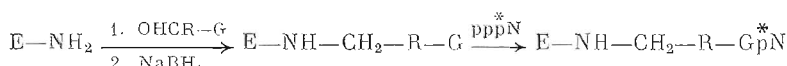
Интересно, что синтез замещенных γ -фениловых эфиров NTP ранее проводили в довольно жестких условиях [2]. Согласно же нашим результатам, реакция, проводимая в аналогичных условиях, заканчивается полностью за 30 мин при 20° С.

Соединения (I)–(IX) выделяли из реакционной смеси осаждением 1% NaI в ацетоне. После двухкратной промывки ацетоном продукты дополнительно очищали обращенно-фазовой хроматографией. Чистота полученных продуктов превышает 95%. По данным микроколоночной ионообменной и обращенно-фазовой хроматографий, они были гомогенны. Как и следовало ожидать, при ионообменной хроматографии они имели на один отрицательный заряд меньше в сравнении с исходными нуклеотидами (рис. 2a), а гидрофобность их закономерно изменялась при переходе от производных моно- к производным ди- и трифосфатов (рис. 2b). УФ-спектры полученных соединений (рис. 3) близки к суперпозиции спектров гуанозина и соответствующего формилфенола. После обработки боргидридом натрия наблюдалось значительное уменьшение поглощения в области 290–320 нм, что говорит о наличии в соединениях (I)–(IX) альдегидной группы. Об этом же свидетельствовало ярко-желтое окрашивание в реакции с 2,4-динитрофенилгидразином.

Обработка соединений (I)–(IX) фосфомоноэстеразой не приводила к изменению их подвижностей на DEAE-целлюлозе, что говорило об отсутствии монозамещенных фосфатных групп.

Таким образом, все эти данные подтверждают структуру синтезированных соединений. Реагенты подобного типа могут вступать во взаимодействие с ϵ -аминогруппой остатков лизина или концевой α -аминогруппой с образованием оснований Шиффа, способных к стабилизации восстановлением боргидридом натрия. Представлялось интересным использовать синтезированные соединения для аффинной модификации.

На рис. 4 приведены результаты по аффинному мечению РНК-полимеразы *E. coli* всеми синтезированными реагентами. Мечение проводили по предложенной ранее схеме сверхселективного аффинного мечения [7], включающей в себя обработку фермента в комплексе с промотором нерадиоактивным аффинным реагентом — аналогом инициирующего субстрата — и последующую инкубацию с радиоактивным элонгирующим субстратом:



где OHCR-G — аналог (I)–(IX) инициирующего субстрата, ppp^{*}N — [α -³²P]UTP или CTP.

Из рис. 4 видно, что мечение подвергается исключительно β -субъединице фермента; с изменением структуры реагента закономерно изменяется интенсивность мечения. Так, наибольшая интенсивность наблюдается в случае реагента (VII), производного GMP, содержащего альдегидную группу в орто-положении к фосфатной группе, в то время как

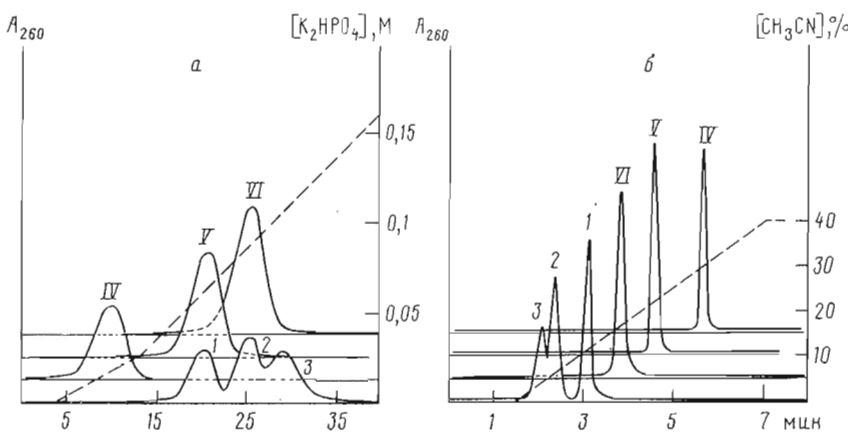


Рис. 2

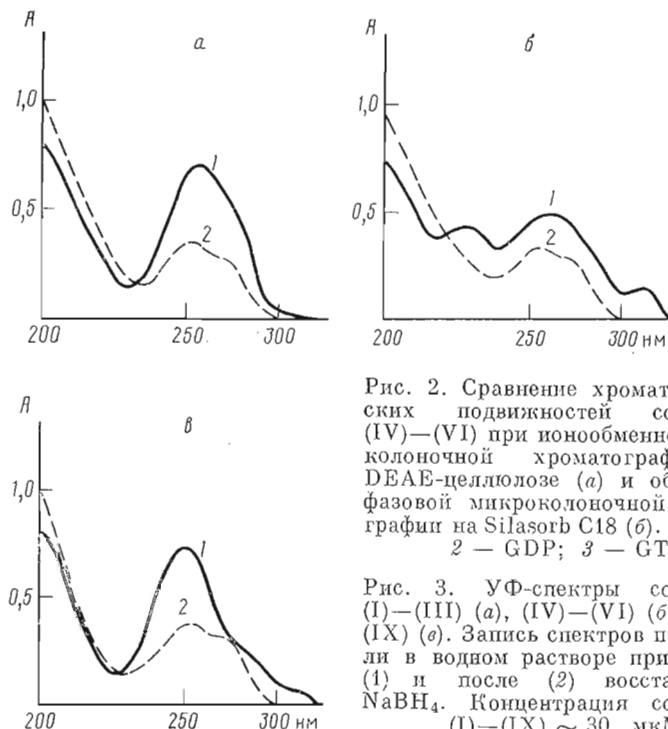


Рис. 2. Сравнение хроматографических подвижностей соединений (IV)–(VI) при ионообменной микроколоночной хроматографии на DEAE-целлюлозе (а) и обращеннофазовой микроколоночной хроматографии на Silasorb C18 (б). 1 — GMP; 2 — GDP; 3 — GTP

Рис. 3. УФ-спектры соединений (I)–(III) (а), (IV)–(VI) (б), (VII)–(IX) (с). Запись спектров производили в водном растворе при pH 7 до (1) и после (2) восстановления NaBH_4 . Концентрация соединений (I)–(IX) $\sim 30 \text{ мкМ}$.

Рис. 3

соответствующий *пара*-изомер совершенно неактивен. При переходе к дифосфатным производным интенсивность мечения с *ортого*-изомером падает, а с *пара*-изомерами возрастает. В случае же трифосфатных производных интенсивность мечения с помощью *ортого*- и *пара*-изомеров становится соизмеримой. При рассмотрении объемных КПК-моделей этих реагентов видно, что подобная закономерность хорошо объясняется, если предположить, что во всех случаях атаке подвергается один и тот же остаток лизина, расположенный в непосредственной близости к α -фосфату инициирующего субстрата. Действительно, как установлено в работе [5], по крайней мере в случае реагентов (VII) и (III) мишенью является остаток лизина, находящийся в области между Ile^{1036} и Met^{1066} .

Таким образом, синтезированные соединения достаточно активны и могут служить хорошими зондами для обнаружения остатков лизина в активном центре РНК-полимеразы *E. coli*. Вероятно, они могут найти широкое применение в исследовании других нуклеотидзависимых ферментов.

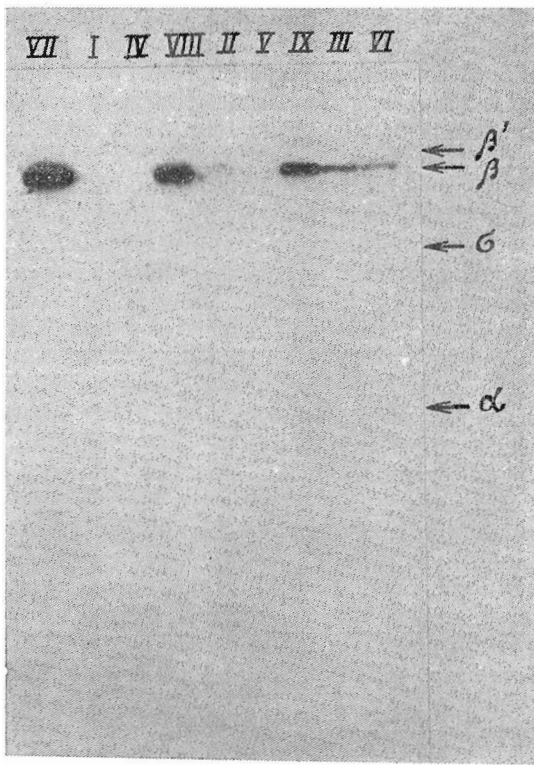


Рис. 4. Электрофоретический анализ [8, 9] аффинного мечения РНК-полимеразы *E. coli* соединениями (I)–(IX) в комбинации с [α - 32 P]UTP. Стрелками указаны положения субъединиц

Авторы выражают благодарность И. В. Кутявину (НИБХ) за интерес к работе и полезные критические замечания при написании статьи.

Экспериментальная часть

В работе использовали GMP, GDP и GTP (Reanal, ВНР), 2,2'-дипиридилдисульфид (Merck, ФРГ), DCC и NaBH₄ (Serva, ФРГ), [α - 32 P]UTP (3000 Ки/ммоль) производства «Изотоп». Щелочную фосфатазу *E. coli* любезно предоставил В. Ф. Подгорный (НИКТИ БАВ, Бердск). Рестрикционный фрагмент *Bsp*1 — 1462 ДНК фага T7, содержащий промоторы A0, A1, A2 и A3, любезно предоставлен Т. Г. Максимовой (ЛИН СО АН СССР, Иркутск). РНК-полимераза *E. coli* — препарат производства «Олайн» (Рига). Остальные реагенты имели квалификацию х. ч. или ос. ч.

GDP и GTP дополнительно чистили хроматографией на DEAE-целлюлозе DE-52 (Whatman, Англия) в градиенте концентрации LiCl от 0 до 0,3 М.

Реагенты выделяли обращенно-фазовой хроматографией на колонке (20 мл) с сорбентом Lichroprep RP-18 в линейном градиенте концентрации ацетонитрила (от 0 до 50 %) в 0,05 М LiClO₄ (200 мл). Скорость подачи элюента 5 мл/мин.

Чистоту выделенных продуктов и величину их заряда определяли методом микроколоночной хроматографии на хроматографе «Милихром» на колонках с DEAE-целлюлозой DE-52 (50 мкл) в градиенте фосфата калия (0—0,2 М, pH 7,5) в 7 М мочевине или с Silasorb C18 (180 мкл) в градиенте концентрации ацетонитрила (0—40 %), в 0,02 М ацетате аммония, pH 5. УФ-спектры записывали на приборе Specord UV-VIS (Karl Zeiss, ГДР).

Формилфениловые эфиры GMP и GDP (I), (II), (IV), (V), (VII), (VIII). К раствору 50 мг (90 мкмоль) триэтиламмониевой соли GMP или GDP в 500 мкл DMSO последовательно добавляли 50 мкл (0,6 ммоль) MeIm, 200 мг (0,76 ммоль) Ph₃P, 200 мг (0,9 ммоль) (PyS)₂ и выдерживали 15 мин при 20° С. Затем к этой смеси добавляли 200 мг (1,6 ммоль) одного из

формилфенолов (4-гидрокси-, 4-гидрокси-3-метокси- или 2-гидроксибензальдегида) и после полного растворения 160 мкл (1,6 ммоль) триэтиламина. Через определенные промежутки времени (см. рис. 1) из смеси отбирали аликвоты по 5 мкл. Для остановки реакции и выделения продуктов к ним добавляли по 1 мл 2% NaI в ацетоне (в случае производных GDP) или по 1 мл диэтилового эфира (в случае производных GMP). Образовавшийся осадок дважды промывали ацетоном или эфиrom соответственно, растворяли в воде и анализировали методом микроколоночной обращенно-фазовой хроматографии. Выход продукта определяли, исходя из площадей пиков исходного нуклеотида и продукта и известных коэффициентов экстинкций. После 20 мин инкубации к оставшейся части реакционной смеси добавляли 10 мл 1% NaI в ацетоне или 10 мл эфира в зависимости от соединения как указано выше. Осадок растворяли в 1 мл 0,05 M LiClO₄ и подвергали обращенно-фазовой хроматографии на колонке (20 мл) с сорбентом Lichroprep RP18 как описано выше. Выход указанных соединений 90—95%.

Для определения зависимости выхода соединения (I) от избытка N-метилимидазола использовали те же соотношения реагентов, за исключением количества метилимидазола. Его избыток указан в таблице. Время инкубации на первой стадии 5 мин, на второй — 15 мин.

Формилфениловые эфиры GTP (III), (VI), (IX). Синтез циклического гуанозин-5'-триметафосфата осуществляли двумя способами. К раствору 10 мг триэтиламмониевой соли GTP в 100 мл DMSO добавляли: а) 20 мг DCC и 10 мкл 1 М раствора хлористого пиридиния в DMSO и выдерживали 1 ч при 20° С; б) по 20 мг Ph₃P и (PyS)₂ и выдерживали 30 мин при 20° С. К полученному по одному из этих способов раствору триметафосфата добавляли 40 мг одного из формилфенолов, 40 мкл TEA и инкубировали 30 мин при 20° С. Продукты выделяли осаждением в 2 мл 1% NaI в ацетоне, очищали обращенно-фазовой хроматографией как описано выше. Выход соединений (III), (VI), (IX) ~90%.

Обработка соединений (I)—(IX) фосфомоноэстеразой E. coli. К 20 мкл раствора, содержащего 2 мкл раствора щелочной фосфатазы активностью 10 мкмоль/мин·мкл в буфере 10 мМ трис-HCl (рН 9), 10 мМ MgCl₂, 10 мМ 2-меркаптоэтанол, добавляли 2 мкл 10 мМ раствора одного из реагентов или АТР. Смесь инкубировали 2 мин при 56° С. Продукты анализировали микроколоночной ионообменной хроматографией.

Восстановление соединений (I)—(IX) боргидридом натрия проводили в спектрофотометрической кювете при 20° С, концентрация NaBH₄ 10 мМ. За ходом реакции следили по уменьшению поглощения в области 290—320 нм.

Аффинное мечение РНК-полимеразы. 2 пмоль РНК-полимеразы и 0,5 пмоль промоторного фрагмента ДНК в 9 мкл буфера, pH 8 (40 мМ трис-HCl, 10 мМ MgCl₂, 50 мМ NaCl, 0,1 мМ EDTA, 0,1 мМ 2-меркаптоэтанол), выдерживали 5 мин при 37° С, добавляли 1 мкл 10 мМ раствора одного из реагентов (I)—(IX) и через 30 мин 1 мкл 0,1 М NaBH₄. Через 30 мин добавляли 1 мкл водного раствора [α -³²P]UTP (1000—3000 Кн/ммоль, 3 мкКн/мкл) и затем через 10 мин 3 мкл смеси состава: 5% додецилсульфат натрия, 5% 2-меркаптоэтанол, 50% глицерин, 0,005% бромфеноловый синий. Нагревали 10 мин при 56° С. Для анализа образцов использовали электрофорез в 10% полиакриламидном геле в присутствии додецилсульфата натрия как описано в работе [8] в микромасштабе [9]. Радиоактивно меченные субъединицы обнаруживали с помощью радиоавтоматографии.

СПИСОК ЛИТЕРАТУРЫ

- Соколова Н. И., Третьякова С. С. // Биоорган. химия. 1983. Т. 9. № 9. С. 1157—1180.
- Knorre D. G., Kurbatov V. A., Samukov V. V. // FEBS Lett. 1976. V. 70. № 1. P. 105—108.
- Мишенина Г. Ф., Самуков В. В., Шубина Т. Н. // Биоорган. химия. 1979. Т. 5. № 6. С. 886—894.
- Грачев М. А., Кнорре Д. Г., Лаврик О. И. // Успехи биол. химии. 1986. Т. 27. С. 30—73.

5. Грачев М. А., Лухтанов Е. А., Мустаев А. А., Рухтер В. А., Рабинов И. В., Скоблов Ю. С., Абдукаликов М. Н. // Биоорган. химия. 1987. Т. 13. № 4. С. 552—555.
6. Годовикова Т. С., Зарытова В. Ф., Халимская Л. М. // Биоорган. химия. 1986. Т. 12. № 4. С. 475—481.
7. Grachev M. A., Kolocheva T. I., Lukhtanov E. A., Mustaev A. A. // Eur. J. Biochem. 1987. V. 163. № 1. P. 113—121.
8. Laemmli U. K. // Nature. 1970. V. 227. № 5259. P. 680—685.
9. Poehling H. M., Neuhoff V. // Electrophoresis. 1980. V. 1. № 1. P. 90—102.

Поступила в редакцию
13.XII.1989

M. A. GRACHEV, E. A. LUKHTANOV, A. A. MUSTAEV

FORMYLPHENYL ESTERS OF GUANOSINE-5'-MONO-, DI- AND
TRIPHOSPHATES AT THE TERMINAL PHOSPHATE RESIDUE

Limnological Institute, Siberian Division, Academy of Sciences of the USSR, Irkutsk

Nine nucleotide formylphenyl esters at the terminal phosphate residue have been obtained via N-methylimidazolides (for GMP and GDP) or trimetaphosphate (for GTP) by the reaction with a formylphenol (4-hydroxy-, 4-hydroxy-3-methoxy-, or 2-hydroxybenzaldehyde) and characterized by UV spectroscopy, ion-exchange chromatography, and reversed-phase HPLC. They are stable towards phosphomonoesterase. Some of them have been used for highly selective affinity labelling of the *E. coli* RNA polymerase.